# 海形海山の熱水活動と火山地質

土田 真二\*1 熊谷 英憲\*2 石橋純一郎\*3 渡部 裕美\*4 上妻 史宜\*5

キーワード: 海形海山,熱水活動,火山地質,熱水噴出孔生物群集

# Preliminary report of hydrothermalism and volcanism at the Kaikata Seamount.

Shinji TSUCHIDA\*6 Hidenori KUMAGAI\*7 Junichiro ISHIBASHI\*8 Hiromi WATANABE\*9 Fumitake KOUZUMA\*10

A *Shinkai 2000 / Natsushima* research cruise was conducted in the Bonin Islands Area. During the cruise, four dives (dive1233-dive1236) investigating geology, geochemistry, and biology were conducted at the Kaikata Seamount. Here, we report the preliminary results obtained from these four dives. A horseshoe-shape ridge extending from the northwestern point of the caldera was investigated first. Basaltic and andesitic rocks were recovered, meaning that the ridge is an outer-most somma of the KC peak of the Kaikata Seamount and suggests that the peak is formed from a triple vol-

- \* 1 海洋科学技術センター海洋生態・環境研究部
- \* 2 海洋科学技術センター 深海研究部
- \* 3 九州大学大学院理学研究院
- \* 4 千葉大学大学院自然科学研究科
- \* 5 北海道大学理学部
- \* 6 Marine Ecosystems Research Department, JAMSTEC
- \* 7 Deep Sea Research Department, JAMSTEC
- \* 8 Faculty of Science, Kyusyu Univ.
- \* 9 Graduate School of Science and Technology, Chiba Univ.
- \*10 Faculty of Science, Hokkaido Univ.

cano. Basaltic to andesitic rocks were also recovered from both the central cone and the southwestern inner wall of caldera rim, meaning that the diversity of chemical composition of magma ranges from basalt to andesite in each. A relatively fresh lava fragment with glassy margin was recovered on the slope of the outer-most somma, suggesting recent activity there. Hydrothermal activities were observed on the wall of craters in the central cone. Shimmering water emanations (max. T=18) widely distributed and associated with white-colored rocks. Contrary to this, rather vigorous fluid discharge (max. T=33) from a dyke structure was detected, where all the breccia surfaces were completely covered with iron hydroxide precipitates. Geochemistry of the fluid samples collected from both sites indicates significant magmatic contribution. Eight phyla including more than twenty-five species of benthic animals were collected from the Kaiakta Seamount including the dominant species, *Austinograea yunohana*, Xanthidae gen. sp. *Symphurus* sp. which have reported in previous studies. Additionally, we found an another dominant sponge, which covered the surface of rocks on a hollow near the top of central cone. Furthermore, we discuss about the distribution patterns for sexes in *A. yunohana* based on size-distributions.

Keywords: Kaikata Seamount, hydrothermalism, volcanism, hydrothermal vent community

#### 1. はじめに

海形海山は伊豆・小笠原弧南部,現在の火山フロントである七島-硫黄島海嶺上の北緯26度40分,東経141度に位置し,KC,KN,KM,KSの4峰からなる火山群である。なかでもKC峰は径2kmを越える明瞭なカルデラ地形を示し,その北西縁に温湧水活動の確認されている中央火口丘を持つ複式火山である。外輪山の西側には馬蹄形に湾曲した峰状の地形が知られており,これが例えば,KC峰外輪山に更に先行した活動による場合には,島弧上の火山としては比較的大型の三重式火山となる。

これまでの調査は,主として熱水活動に着目し,中央火口丘とカルデラ南東端の熱水変質域を結んだ線上に集中しており,カルデラ内に関しては概略の地質図が得られている(仲ほか,1989)。また,中央火口丘頂上付近には,広範囲にゆらぎとわずかな温度異常が確認され,ユノハナガ

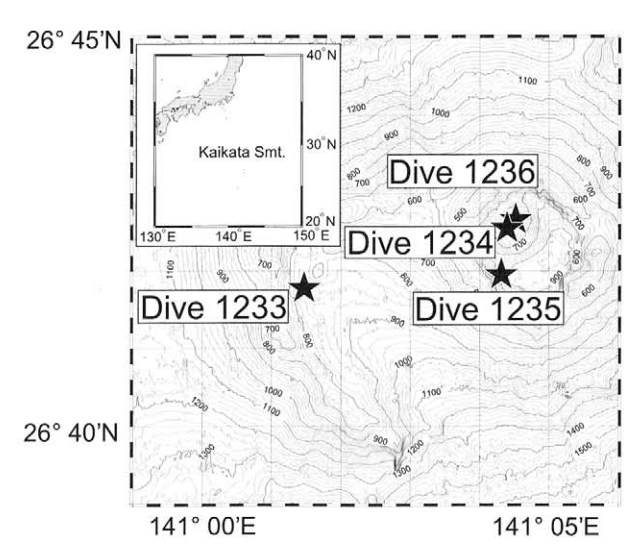


図1 海形海山における潜航地点。

Fig. 1 Locations of the dive points at the Kaikata Seamount.

二,オウギガニ類,アズマガレイ類,シンカイヒバリガイ類などを優占種とする化学合成生物群集を形成すること,またその分布状況の一端が明らかになっている(大野ほか,1996)。しかし,生物相や分布様式の全容はまだ明らかになっていない。また,ゆらぎやわずかな温度異常が認められているものの,熱水の化学的分析が行われた例もない。そのため,海形海山における地球化学的な特徴や熱水噴出域周辺における生物群集の分布とその環境要因に関する情報はほとんど得られていない。

以上の状況を踏まえ,海形海山とくにKC峰の熱水活動および火山活動史を理解するために,NT00-12調査航海で「しんかい2000」による4回の潜航調査を海形海山で実施した。これまで繰り返し行われてきた潜航調査の空白域を補完し,火山地質学的全体像をつかむこと,熱水試料を採取し,その地球化学的特性を把握すること,生物相や分布様式および生理,生態的特性を理解することを目的として行った。ここではその調査の概要について報告する。

#### 2. 方法と材料

本調査は,NT00-12「しんかい2000」/「なつしま」調査 航海(2000年10月30日~11月11日)として実施し,4潜航(第 1233~1236潜航)を海形海山で行った(図1)。生物試料の 採集には,サクションサンプラーを,海水試料の採取には, 多連回転バルブ式ポンプ採水器,M式採水器および二スキン採水器を使用した。熱水の温度計測には,白金抵抗温 度計(自己録式および熱水採水器の採水口先端に設置した 直続式)を用いた。

#### 3. 潜航概要

第1233潜航(海洋科学技術センター 熊谷英憲)

海形海山KC峰西側の崩壊カルデラ様の地形にて880m 等深線の最奥部に着底,西側の峰へと向かうルートをとった (図2)。着底直前の水深872m,高度8mの地点でニスキン採 水を行った。着底点表面は黒色比較的淘汰の良い火山砂, その下に褐色のシルト質の堆積物がみられ,マニュピレー ターにより採取した。進路を真西に取り,底質が礫主体に変 化したところで再び堆積物を採取した。その後,10-15m間 隔で高さ30-50cmの段差を視認した。途中,カイメンの付着 した黒色の転石を採取。峰の立ち上がりに近づくと,段差 は大きく,間隔は狭まり,奥側が抉れるもの,段差面に表面 の黒い堆積物の無いものを視認した。深度800mにて岩石 を採取した後,等深線に沿って北上,小石が散在していた。 途中,岩石採取1回を実施した。下り斜面となり,底質の変 化に乏しくなったため、深度830mにて真西にコース変更、再 び深度800mに達した時点で岩石採取,シリンジ採水器試験 を行った。ここまでの試料はいずれも軽石と思われるが浮 上時の動揺にて失われた。コースを真北に変更し,斜面登 りの途中,数回のサンプリングを試み,2地点で岩石採取に 成功した。麓の地点では本潜航にて頻繁にみられた段差 状地形の平坦面を形づくっている褐色の半固結砂泥,斜面 中央部ではやや発泡した玄武岩質溶岩を採取した。その 後 ,急崖となるが ,サンプリングは困難であった。 頂上付近 にて海水が濁ってきたため,湧出口等の有無の確認のため 頂部を半周するが底質に異常見られず、頂部より離底した。

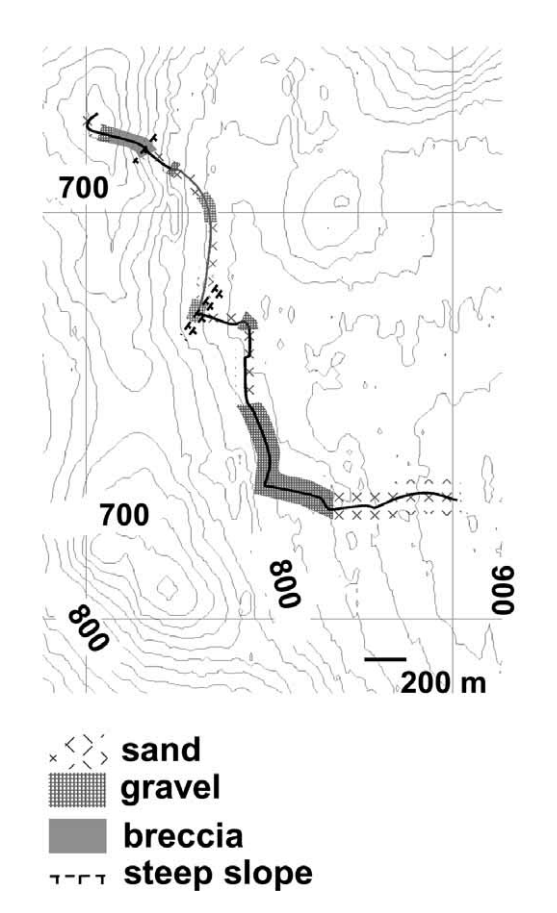


図2 「しんかい2000」第1233潜航の航跡と底質。等深線は20m 間隔。

Fig. 2 Track of the *Shinkai 2000* dive 1233 and description of the seafloor. Contours = 20m.

第1234潜航(海洋科学技術センター 土田真二)

海形海山中央火口丘西側水深567mの地点で海底を視 認したが,着底が困難であったためそのまま火口に向け東 進した。すぐにシンカイヒバリガイ類の死殻を多数視認した。 また、その付近の岩陰で、オオエンコウガニやイトアシエビ などを観察したが、採集はできなかった。さらに、東進した ところ,水深535mの地点でゆらぎを視認するとともに白色 で小型のイソギンチャクを多く観察した。砂礫状の海底を 進むと,枕状溶岩を視認し,岩石を採取した。水深448mの 地点では,広域にわたる白色の変色域を視認した。その変 色域の周辺では、数種の魚類とともにユノハナガニが点在 していた。変色域の周辺には,多数のオウギガニ類やアズ マガレイ類が生息しており、それらを採集した。 さらに東進 したところ,高さ10m以上あるデッドチムニー状のものを視 認した。その周りには、多数のアナゴ類やサメ類、その他 魚類が群がっていた。そのチムニーからは、ゆらぎなどは まったく見られなかったが、オウギガニ類やユノハナガニが 点在していた。その後さらに東進すると,高さ5m程度の デッドチムニーを視認した。そのチムニー周辺の海底は白 色になっていた。火口内の窪地では,瓦礫の海底に所々白 色の塊がみられ、その周辺にはユノハナガニが多数生息し ていた(写真1)。 白色の塊はカイメン類の一種で,そのすぐ 近くにベイトトラップの設置,生物の採集を行った。岩石を 採取した後,カイメン類の塊近くに移動した。カイメン類は, 瓦礫の表面を覆うように付着しており,その直上で温度計 測を行ったところ最高水温は ,13.5 であった。また ,ゆら ぎを確認したため,温度計測,採水,生物試料の採集を 行った。最高水温は,15.8 であった。その後,南進し,砂 礫の海底上に乳白色の硫黄塊を視認した。この地点で,硫 黄塊の採取と生物試料の採集を行った。その後,尾根に 沿って進むと,茶褐色の砂底が一面に広がり,アズマガレイ 類が点在していた。この地点で、アズマガレイ類を数個体 採集し、二スキン採水を行ったところで離底した。



写真1 海底に設置した餌に群がるユノハナガニ

Photo 1 Numerous bythograeid crabs, *Austinograea yunohana* gathered to the bait deployed on the bottom.

# 第1235潜航(海洋科学技術センター 熊谷英憲)

海形カルデラKC峰のカルデラ底南西部に着底,底質の 観察を行いながら航走した(図3)。より外側の馬蹄形カル デラ底同様,漣痕の発達した黒色の火山砂で覆われている が、潜航時は流れがほとんどなかった。カルデラ底には長 波長の起伏が見られた。表面の薄い火山砂層の下にはや や固結した褐色のシルト質層が見られ,所々数cm大に薄く 破砕されていた。わずか先には、めりこみ痕ないし洗掘痕を 伴う転石が多数みられ,転石の1つを採取した。連痕の乱 れ,段差状地形,削り取られたような窪み(断面は成層した シルトか などを視認した。やがて、まばらに白色のわずか な盛り上がりを伴う変色域がみられる様になったため,着底 しRMT温度計測を行った。さらに100mほど進むと巨大な 転石がみられるようになった。後述の柱状節理構造を持つ カルデラ壁面の岩石に非常に類似していた。高温酸化様の 変色部をもつ付近の小転石の1つを採取した。30mほどで 崖の麓に達し,柱状節理の良く発達した色の薄い火山岩 (安山岩か)の露頭を視認した。壁面に正対しサンプリング を試みながら上昇した。節理が乱れ,崩落した跡を頻繁に 観察した。乱れた節理の上位には成層した薄い砕屑物堆 積層もしくは溶岩流が1~数枚,あるいは数十cm径の角礫を 頻繁に含んだ砕屑岩様の層がみられ,更に上位に節理の 発達した断崖が再び重なっていた。最上位には薄い舌状の 構造を持つ層があり、その上面に小規模のドームとも大型の 枕状溶岩ともとれる岩体が散在,集合して外輪山状の局部 的な峰を形成していた。そのうち1個を採取し,#235マー カーを設置した。暫く外輪山の峰に沿って観察するが,堆積 物のみで変化に乏しかった。その後,高度を取り,中央火 口丘へ向かった。火口丘付近の高度50m点では周囲の海 水が非常に濁っていたためニスキン採水を実施した。第 1234潜航にて設置したトラップの回収に向かった。目標点 付近は数十cm径の枕状溶岩ないしはスコリアが積み重な り,所々赤茶色の変色部分がみられるが,海水のゆらぎは 確認できなかった。目標点の手前にて,急崖に転倒し滑落 しかかったベイトトラップを確認,回収して離底した。

# 第1236潜航(九州大学 石橋純一郎)

火口丘外側の斜面付近で着底した。底質は砂が主体で 火口丘から落ちてきたと思われる変質鉱物を含んだ礫もか なり見受けられた。火口丘まで上昇したあと,ほどなく白色 変色域がひろがる火口壁を確認した。 白色変色域(一つの 熱水噴出域は10m四方程度)は数多く分布しており,そのほ とんどで熱水のゆらぎがあるようであった(写真2)。変色域 の分布が火口壁上であり、地形が複雑であるため、着底で きる場所は限られていた。変色域付近で,ニスキン採水を 行った。変色域のあちこちから噴出する熱水のために,水 温は既に12 以上であった。採水作業を行う場所を探索 する過程で,赤褐色に変質した岩石からなる岩脈から熱水 が噴出している地域、赤岩の湯を見つけた(写真3)。岩石 はすべて角ばっていてほぼ同じサイズにきれいに割れてお り,その表面はほぼ完全に鉄水酸化物におおわれていた。 岩脈(その構造から火道とも考えられる)は10m程度の高さ があり,幅もその程度あるようであった。熱水は岩脈全体 から噴出していた。ユノハナガニが生息するが個体数はき わめて少なかった。その頂上部に着底することに成功した。 熱水の温度計測では最高33 を記録し,採水に成功した。 赤褐色に変質した表面を持つ岩石を一個採取した。その 後シリンジ採水器の作動試験を行った。次に火口底に降 リて、堆積物試料をM式採泥器で採取した。ついで岩石試 料を一個採取した。火口底は火山砂により覆われており、 白色や赤色に変色した岩石の転石がごろごろしていた。火 口底ではゆらぎはかったが,ユノハナガニは生息していた (火口底での水温は11.3)。再度,白色変色域(白岩の湯) からの熱水試料採取に試みるため,一度火口より外側に出 て北のほうまで行き過ぎた。この時は細かい粒子によって 海水が濁っていて視程が悪かった。おそらく北側の火口域 の上空を進んでいたと思われる。再び二スキン採水を行っ た場所の近くまで戻り着底した。熱水の温度計測では最高 18 を記録し,採水を行った。その付近で,かなり変質し た岩石を採取した後,離底した。

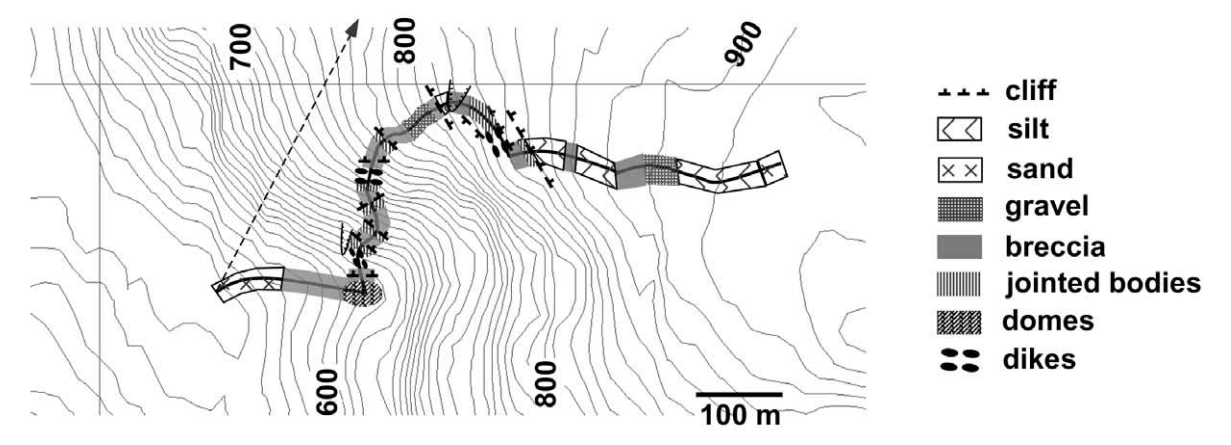


図3 「しんかい2000」第1235潜航の航跡と底質。等深線は10m間隔。

Fig. 3 Track of the Shinkai 2000 dive 1235 and description of the seafloor. Contours = 10m.

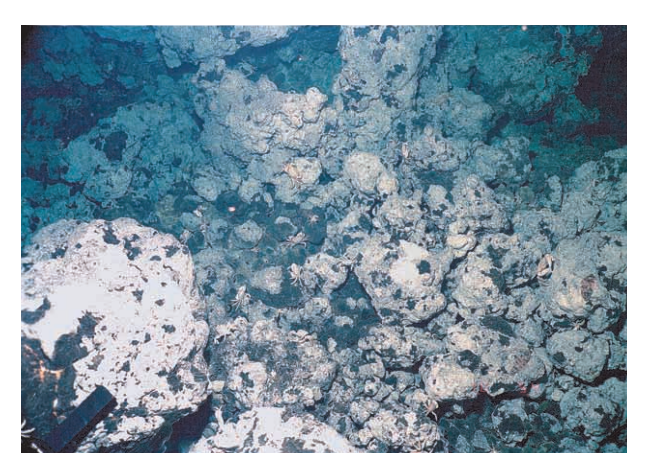


写真2 白岩の湯。岩石の表面は白色のカイメンで覆われており, 広範囲にわたってゆらいでいた。ユノハナガニやアズマガレイ類も多く生息していた。

Photo 2 "Shiroiwano-yu"; white sponge covering the rocks and shimmering water was observed widely in this area where the bythograeid crab, *Austinograea yunohana*, and the sole fish, *Symphurus* sp., were abundant.

#### 4. 海形海山の火山地質

# KC峰西側の馬蹄形に湾曲した峰:

峰の麓部表層は褐色の半固結砂泥で覆われていた。斜 面半ばでは安山岩質溶岩が採取されたが、これは、やや発 泡(vesicularity 約5%) し斜長石斑晶を多く含んでいた。こ のことから、湾曲した峰状地形は、これまで認識されていた 外輪山のさらに外側に相当する外輪山であると考えられ る。カルデラ底で玄武岩質溶岩が採取されたことを考えあ わせると,この外側のカルデラの活動が玄武岩~安山岩の 組成範囲を示す可能性がある。この安山岩(2K1233R7)に はガラス質の急冷縁も残っており,峰状地形に比較的新し い活動の存在を示す。例えば,峰の局所的なピークを形成 する高まりが、峰本体の形成後に側火山的に活動した可能 性が考えられる。しかし,頂上付近では海水が濁っていた ものの、熱水等の湧出は確認できなかった。また、水深 700m以浅の急崖の大部分では積み重なる大小の角礫岩塊 が膠結していた。これは ,活動が休止してから相当の時間 が経過したと考えることができる。以上のように,地形の形 成時期については検討の余地が残る。

# カルデラ底:

馬蹄形の峰に囲まれた窪地は、これまで知られていたよりさらに外側のカルデラであると考えられる。底質はともに黒色の火山砂で、そのすぐ下位にやや固結した褐色シルト質の堆積物が広く分布していた。カルデラ底には間隔10-15m、高さ30-50cm程度の起伏が広く観察された。周囲が洗掘された転石や、良く発達した漣痕から、少なくとも一時的には強い流れが存在した思われるが、潜航時には流れはほとんど観測できなかった。馬蹄形カルデラは長軸が北西にあり、平坦で、幅3.5km、奥行き4km程であった。水深



写真3 赤岩の湯。赤褐色の鉄水酸化物が表面に沈着している岩脈から比較的活発に噴出する熱水(最高温度33 )。

Photo 3 "Akaiwano-yu"; Vigorous fluid discharge(max. T=33 ) from a dyke structure, where all the breccia surfaces were completely covered with iron hydroxide precipitates.

830m以深の表層火山砂は,黒色で比較的淘汰が良く,取り跡が崩れない程度に膠結,下位のシルトは褐色で弱く成層していた(図2)。浅所は膠結していない淘汰の悪い礫主体で,1cm程度の円礫を含んでいた。比較的発泡した(vesicularity約15%)玄武岩質の転石が散在することも,この馬蹄形カルデラの活動に玄武岩質のマグマが関与している可能性を支持している。起伏の激しい箇所は砂層に欠け,シルト層が露出していた。北西部奥の転石は,淡褐色のものが主体であった。

円形カルデラ底は,水深900m強の平坦面をなし,やや発泡した玄武岩質安山岩の転石が見られた。外輪山の麓に近付くと転石の頻度,大きさとも増大し,大きなものはさしわたし数m程度のものもあった。これら転石は,発泡し,時に,冷却によると思われる規則的な節理構造を持ち,多量の斜長石斑晶を含む角礫であった。しばしばわずかに盛り上がった白色変色域が分布するが,ゆらぎや温度異常など熱水の兆候は認められなかった。

# 円形カルデラの外輪山:

円形カルデラの外輪山は,断面が六角形の冷却節理が非常に良く発達した安山岩質岩体と淘汰の悪い火山角礫岩ないし溶岩流の互層からなる(図3)。層厚は数mから十数mを越えるものまで変化があった。鉛直に節理の発達した岩体と角礫岩ないし溶岩流との遷移部では,節理が乱れて水平近くに傾斜し,上位に準整合に成層した1~数枚の溶岩流もしくは数十cm径の角礫を頻繁に含んだ砕屑岩層が重なっていた。まれに比較的薄く数十cm厚)舌状の先端部を持つ数枚に成層した堆積物を挟むことがあった。舌状部分は角礫岩とみられ,周囲より盛り上がっていることから,これまで環状岩脈群として報告されているものの一部である可能性がある。溶岩流ないし砕屑岩層は,緩傾斜の2,30m幅のテラスを形成し,浅所に再び鉛直に節理の発達し

た岩体からなる断崖が出現した。テラス部の1ヶ所から採取した試料は、非常に良く発泡したスコリアに近い玄武岩質の角礫であった。カルデラ底に散在する安山岩質の転石から考えて、断崖の崩落は現在でも続いていると思われる。外輪山南西部には少なくとも2箇所局所的な峰があり1つは、その頂部に小規模のドーム状の岩体が散在、集合し、ドーム状を呈することが明らかとなった。構成する溶岩は玄武岩質安山岩と考えられ、カルデラ壁最上位を構成する薄い舌状層の更に上位に位置する。外輪山の峰の上面はやや膠結した堆積物に覆われ底質の変化に乏しかった。

#### 中央火口丘:

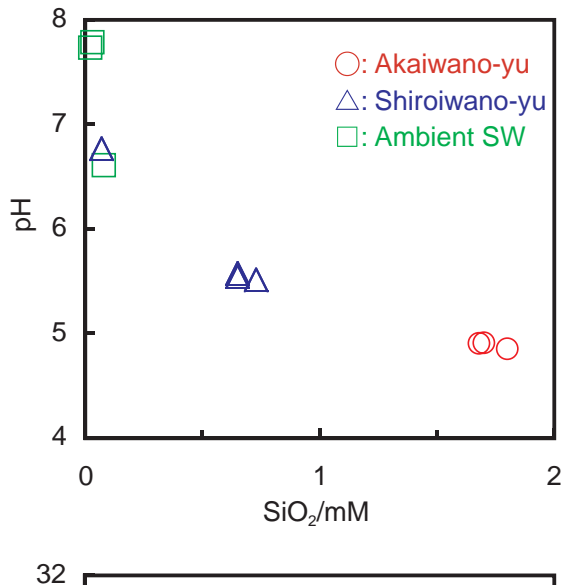
これまでの調査同様、採取された岩石の多くは変質程度は異なるが、良く発泡し、しばしば多量の斜長石斑晶を含む玄武岩質溶岩で、ガラス質の急冷縁を残すものもあった。一方、活発な熱水湧出を伴う尖塔状の(頸状)岩脈からは、鉄水酸化物が2mm厚に沈着し、発泡度が非常に低い安山岩質と思われる岩石が採取された。マグマの化学組成の変遷については、今後検討が必要である。また、KM峰では熱水性の堆積物はマンガン酸化物主体と報告されているが(臼井、1991)、中央火口丘ではむしろ赤色の鉄酸化物が主体であった。熱水域周辺では、自然硫黄の沈着し、かなり変質した玄武岩が見られたことは、これまでの調査と同様であった。

#### 5. 熱水の地球化学的特徴

今回採取した熱水は、赤褐色に変質した岩脈から噴出する熱水(赤岩の湯)とその他の火口壁からの熱水(白岩の湯)であり、赤岩の湯の最高水温は33 ,白岩の湯の温度は10-18 であった(写真2,3)。白岩の湯の試料は何ヶ所かで採取したが、その化学組成はほぼ同じものと考えられる。また、熱水ではない海水試料としては、海山周辺のほぼ同じ深度で採取されたものを用いた。

採取した熱水試料についてシリカ濃度と硫酸イオン濃度 の関係,シリカ濃度とpHとの関係を図4に示した。シリカは 浅い水深の海水にはほとんど含まれないが低温の熱水反 応でも比較的容易に岩石から溶解する成分である。この図 では熱水成分がどれだけ多く含まれているかという指標と して用いた。より温度の高い赤岩の湯のほうが白岩の湯に 比べて熱水成分が多く含まれていることがわかる。どちら の熱水についても,硫酸イオン濃度が海水より高くなってお り,硫酸酸性により非常に低いpHとなっていることが特徴 的である。硫酸イオンの供給源としてはマグマから脱ガス したイオウが考えられる。火口丘周辺には自然イオウの沈 着があちこちで見られていることも、こうした熱水の化学的 特徴と調和的である。マグマ起源のイオウが循環水に混入 してできた硫酸酸性の温泉は陸上でも多く知られており、 島弧の火山である海形海山において共通した熱水循環シ ステムが存在することは不思議なことではない。

もうひとつ興味があるのは,すべての化学成分について 白岩の湯は赤岩の湯を海水で薄めたものとして簡単に説



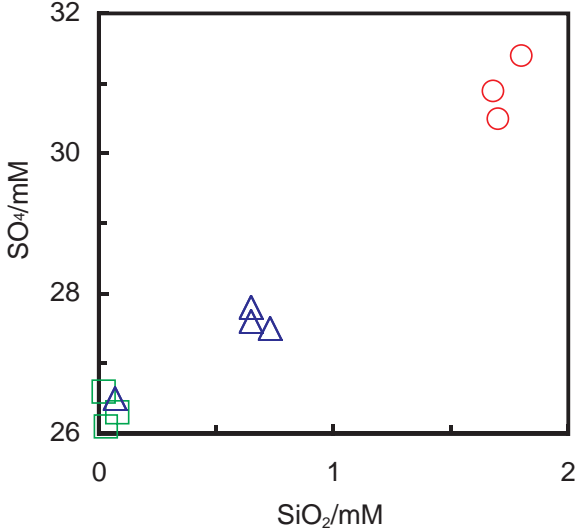


図4 海形海山で採取した熱水試料のpH(上図)・SO<sub>4</sub>濃度(下図) とSiO<sub>2</sub>濃度との関係

Fig.4 Relationship between pH-  $SiO_2$  (upper )and  $SO_4$ -  $SiO_2$  (lower ) for the samples collected from the Kaikata Seamount.

明することはできない点である。例えば硫化物イオンなどは、赤岩の湯よりも白岩の湯のほうが高い濃度を示す。赤岩の湯の周囲には生物が非常に少なく、熱水の化学的性質の相違とこうした生物密度の間になんらかの関係があることも期待できる、写真2,3)。

# 6. 生物相と分布

今回の調査では、8門25種以上の底生生物を採集した。これまでの調査から報告されている。大野ほか、1996ように、海形海山の中央火口丘における熱水噴出域には、ユノハナガニ、オウギガニ類、アズマガレイ類が優占していた。とくに、ユノハナガニは優占的で、日本周辺の熱水域の中では、もっとも高密度で生息している。写真1、また、火口の窪地には、上記3種の優占種に加え、白色のカイメン類が、岩石の表面

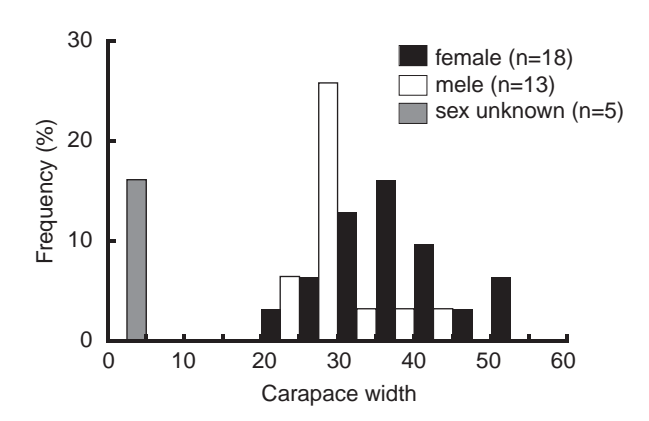


図5 採集したユノハナガニの甲幅組成

Fig. 5 Distribution of carapace widths for the bythograeid crab, Austinograea yunohana.

を隙間なく覆うように付着していた(写真2)。この窪地は全体がゆらいでおり、そこにあるほとんどの角礫は、前述のカイメンで覆われていた。しかし、このカイメンは他の場所では、確認できず、生息域はかなり限られていると思われる。これまで、優占種として報告されているシンカイヒバリガイ類(大野ほか、1996)は、殻長10mm程度の稚貝数個体を採集できたが、成体は本調査では確認することができなかった。

海形海山でもっとも優占的であるユノハナガニのサイズ組成(n=36)について検討すると,モードは雌では甲幅35~40mm,雄では甲幅25~30mmとなり,甲幅30mm以上の大型のものは,雌で11個体,雄で3個体であった(図5)。つまり,得られた標本は,大型の雌が多い結果となった。これは採集を行った地点が非常に限られた範囲内であること,また雌雄の繁殖様式の違いを反映していることが考えられる(Tsuchida and Fujikura, 2000)。つまり,雄は雌を巡る競争が激しいため,大型の雄の分布は全体として均一になり,結果として単位あたりの密度が低くなる。一方,雌同士の競争は激しくないため,熱水噴出孔周辺に集中して分布する傾向があり,結果として大型の個体も小型の個体も高密度で分布するものと推測した。また,本海域では,ユノハナ

ガニの他にオウギガニ類も分布しており、2種の短尾類が熱水域に優占的に生息する例は、日本周辺では海形海山と北部マリアナ海域の日光海山のみである、橋本・藤倉、1992、両種の競合関係について興味深いが、今回得られたオウギガニ類のサンプルは少なかった。しかし、両種の繁殖様式を比較検討することにより、その相互関係に関する知見が得られるものと期待する。

# 7. 謝辞

本調査においては,依田司令をはじめとするしんかい 2000運航チームの方々および湯川船長をはじめとするなつ しま乗組員の方々には,多くのご尽力を賜った。また,仲二郎,富士原敏也両博士には調査に際して地質学,地球物理学的なご助言を賜った。記して,心より謝意を表する。

#### 8. 引用文献

- 橋本 惇,藤倉克則(1992)水曜海山・木曜海山・日光海山 における熱水噴出孔生物群集.第9回しんかいシンポ ジウム予稿集,48-51.
- 仲 二郎,深海調査グループ(1989)小笠原諸島,海形海山 KC峰の海底.海洋科学技術センター試験研究報告,5 巻,57-63.
- 大野多恵子,藤倉克則,橋本 惇,藤原義弘,瀬川 進 (1996)小笠原海域 海形海山の熱水噴出孔生物群集. JAMSTEC深海研究,12,221-230.
- Takahashi ,N. ,Suyehiro ,K. and Shinohara ,M.( 1998 ) Implications from the seismic crustal structure of the northern Izu-Bonin arc. The island arc, 7, 383-394.
- Tsuchida, S. and K. Fujikura(2000) Heterochely, relative growth, and gonopod morphology in the bythograeid crab, *Austinograea williamsi*(Decapoda, Brachyura). Journal of Crustacean Biology, 20(2), 199-206.
- 臼井 朗(1991)小笠原海域「海形海山」の熱水マンガン酸化物-第408回潜航調査-.海洋科学技術センター試験研究報告,7巻,89-104.

(原稿受理:2001年2月6日)